

LHC 実験から新しい物理を探り出すために必要な、QCD の基礎知識を実験の方々と共に学びたいと思つて始めた今回の講義シリーズですか。一応、今日で区切りをつけ、少くも休みをいたたきたいと思つます。当初は、現在世界中のいくつものグループが精力的に取り組んでゐる、LHC のためのイベントジェネレータの中身についてある程度解説いたいと思っていましたが、90年代からの過去 15 年位の期間にわたって多くの研究者が積みあげて来た蓄積が思ひの他大きくて、やゝと、2~3 年前までにどのような仕事かしなされ、今、どのような発展が期待されるか、そして、これからどのように解析の準備を進め、専門の研究者の方々（小平さん、栗原さん、川村さん、そして Webber サン、Frixione サン、Krauss サン 等々々）から何を学べば良いのか、おほぼろゲーに分かってきましたことをです。おぼぼろゲーですけれど、それを今日、語させていたたきたいと思つます。

LHCの物理のシミュレータへ要求されること:

$$\textcircled{1} \quad (V, VV, VVV, t\bar{t}, t\bar{b}, H, HV, t\bar{t}H, b\bar{b}H, Hj, Hjj, jj) + nj \quad n=0, 1, 2, 3, 4$$

等のイベントを生成できること。

ここで $V = W, Z, \gamma$, j は $high p_T$ jet (b, l, g)

SM過程さえできれば、new physics は通常簡単です。

$$\textcircled{2} \quad j の「太さ」と $p_{T_{min}}$ を決めたときに. \quad n=0, 1, 2, 3, 4, \dots$$

のイベントの生成比が概ね正しいこと。

$$\textcircled{3} \quad n=0, 1, 2, 3, 4, \dots を全て足し上げたときの (\dots) + X の
面積の大きさが概ね正しいこと。$$

$$\textcircled{4} \quad \left. \begin{array}{l} \textcircled{3} で (\dots) の系の } p_T \text{ 分布が概ね正しいこと。} \\ \text{ また } n=0 \text{ と } 1 \text{ の場合の } (\dots) \text{ 系の } p_T \text{ 分布も概ね正しいこと。} \end{array} \right\}$$

$$\textcircled{5} \quad \text{シグナルか } (\dots) + nj \quad (n \text{ は最小の } j \text{ 数}) \text{ の場合, SM バックグラウンド } (\dots) + nj \text{ の分布が } n=0, 1, 2, \dots, m+1 \text{ まで概ね正しいこと。}$$

$$\textcircled{6} \quad \text{個々の } j \text{ のプロファイル (ハドロンの運動量分布, 数の分布等)}
が現実のハドロンジェットと大きく異なることがなく、「良い」クラスター法
を用いれば、実際のジェットとの一致が期待できること。$$

上の条件を全てみたすシミュレータを準備できれば、あるいはその使用法が精通し、実際の観測と比較しながら tune していくのは良いと思ふ。

285
2005. 10. 14

一方、①～⑥のどれか欠けても、解析（実際のLHCイベントを利用したシミュレータの改良）は大変困難になると思います。欠ける可能性がある大きな部分については、あるかいぬ、LHCのデータを使って補う戦術を組み立ておく必要がります。順番に検討していきましょう。

①については全く問題がありません。断面積計算プログラムがいくつもあって、相手42.4%が何重にもできることで1+3、使いつづくて早いプログラムをいくつかマスターしておけばOKです。⑤に関連する、 $(\dots) + n_j$ イベントのイベントシェイプ等が、パートン分布、因子化スケール、シコットの定義（「太さ」、 $p_{T,\min}$ 等）、クリクルミスケール (α_s^n たゞたゞ、 n 個のクリクルミスケールか) となります。 $\alpha_s^n \rightarrow \alpha_s(Q_1^2) \alpha_s(Q_2^2) \dots \alpha_s(Q_n^2)$)、等でどう変化するか、等の事前解析は絶対に必要で、そのためには早ければ簡単なプログラムが有利です。

②は決定的に重要ですが、大変難しい問題です。①では、たぶん断面積計算プログラムを使ふと、 $n=0$ のときの断面積を 5° として、 $n_{jet,1,2} = 5^\circ \times \alpha_s^n$ の様になりますが、それなりません。

実際は計算すると、 $\sigma((\cdots) + n j)$ は jet の定義に強く依存し、例では $n=1$ のときは $\frac{ds}{\pi} \ln \frac{s}{p_{T \min}^2}$ の様な形になります。 $n=2$ 以上では $(\ln \frac{s}{p_{T \min}^2})^n$ に加えて jet の「太さ」を R とすると $\ln \frac{1}{R}$ の様な因子がかかる。 $n=0, 1, 2, \dots$ と足りなくて、 $n > 2$ 大きな断面積にならざるを得ないことがあります。これは tree level の断面積計算が「ワケツムカ」。ループ補正（虚輻射）を計算しなければなりません。例として、 $e^+ e^- \rightarrow \gamma^* \rightarrow (\pm \bar{\nu}) + n j$ を考えると良いです。実ループオノ輻射だけ $n=1, 2, 3$ と計算すると、断面積はどんどん増えてしまいます（正則化されておかなければ全て ∞ ）。虚輻射補正（virtual correction）を加えると、有限となり、 $\sigma_{\text{tot}} = \sigma_0 + \sigma_1 + \sigma_2 + \dots = \sigma_{\text{tot}}^{(0)} \left(1 + \frac{ds}{\pi} + \dots \right)$ となります。このとき、单純な古典力学論では

$$(815) \quad \begin{aligned} \sigma_0 &= \sigma_{\text{tot}}^{(0)} \left(1 + \frac{ds}{\pi} A_1 + \left(\frac{ds}{\pi}\right)^2 A_2 + \left(\frac{ds}{\pi}\right)^3 A_3 + \dots \right) \\ d\sigma_1 &= \sigma_{\text{tot}}^{(0)} \left(-\frac{ds}{\pi} B_1(x_1) + \left(\frac{ds}{\pi}\right)^2 B_2(x_1) + \left(\frac{ds}{\pi}\right)^3 B_3(x_1) + \dots \right) \\ d\sigma_2 &= \sigma_{\text{tot}}^{(0)} \left(-\frac{ds}{\pi} C_2(x_1, x_2) + \left(\frac{ds}{\pi}\right)^2 C_3(x_1, x_2) + \dots \right) \\ d\sigma_3 &= \sigma_{\text{tot}}^{(0)} \left(-\frac{ds}{\pi} D_3(x_1, x_2, x_3) + \dots \right) \end{aligned}$$

の様に表され、 $A_1, A_2, A_3 \sim -\infty$ の virtual 補正、 $\int B_i(x_i) dx_i, \int C_j(x_1, x_2) dx_1 dx_2$ 等は $+\infty$ 、「正しく」正則化されて、虚ループと実ループの大さな補正は相殺し

$$(816) \quad A_1 + \int_{1-\epsilon-7^\circ}^1 B_1(x_1) dx_1 = a_1$$

$$A_2 + \int_{2-\epsilon-7^\circ}^2 B_2(x_1) dx_1 + \int_{1-\epsilon-7^\circ}^1 C_2(x_1, x_2) dx_1 dx_2 = a_2$$

$$A_3 + \int_{3-\epsilon-7^\circ}^3 B_3(x_1) dx_1 + \int_{2-\epsilon-7^\circ}^2 C_3(x_1, x_2) dx_1 dx_2 + \int_{1-\epsilon-7^\circ}^1 D_3(x_1, x_2, x_3) dx_1 dx_2 dx_3 = a_3$$

ここで, a_1, a_2, a_3 は有限の数にならざるでない。 $a_1 \in NLO, a_2 \in NNLO,$

$a_3 \in N^3LO$ の補正項を略す。和は有限である。 $\int d\Omega_1, \int d\Omega_2,$

等は全て発散しており、 n -jet 断面積は議論できません。

jetの「太さ」を導入して、積分を cut off してそれで他の断面積を有限

にします。 $\int d\Omega_n$ は $(\frac{2\pi}{\pi})^n \ln \frac{1}{\text{太さ}}$ の様に振舞い、全断面積の

規格 ($\epsilon=7^\circ, \tau_r=1$)

$$(817) \quad \sigma_0 + \sigma_1 + \sigma_2 + \dots = \sigma_{\text{tot}} = \sigma_{\text{tot}}^{(0)} \left[1 + a_1 \frac{d\epsilon}{\pi} + a_2 \left(\frac{d\epsilon}{\pi}\right)^2 + a_3 \left(\frac{d\epsilon}{\pi}\right)^3 + \dots \right]$$

は再現できます。

さて、 $\approx \tau$ p.282 (814) の MC 法 (Monte Carlo 法) を解いて得られる

PS (Parton Shower) は、 $n=0, 1, 2, \dots, k_{\max}$ までの生成断面積を

全て有限にする。

$$(818) \quad \sigma_{(0)} + \sigma_{(1)} + \sigma_{(2)} + \dots + \sigma_{(k_{\max})} \approx \sigma_{\text{tot}}^{(0)}$$

を得ます。 $\approx \tau$ 通常 $k \sim \frac{Q}{Q_0}$ は大きな数 ($Q_0 = 1 \text{ GeV}$ で $Q = 100 \text{ GeV}$)

たゞ原理的には $k \sim 100$ が可能。phase space が急激に減少する。

$\langle k \rangle > k_{max}/2$ のとき $\sigma_{(k)} / \sigma_{(0)}^{(0)} \approx 0$ と思ひます。実際の PS ジュネーラーで、 $Q_0 \times Q$ を動かして $\sigma_{(k)} / \sigma_{(0)}^{(0)} = P_{(k)}$ の分布を調べてみて下さい。

$$(819) \quad \sum_k P_{(k)} = P_{(0)} + P_{(1)} + P_{(2)} + \cdots + P_{(k_{max})} \approx 1$$

が常に成立する（ユーリティー = 確率の保存）は？か。PS の現実のハドロンジットの良い近似になつてゐるかどうかは、 Q/Q_0 の変化（より物理的には、 Q_0 を固定して、 Q を大きめて、たゞきに）、 $P_{(k)}$ の分布がどうかである。それが QCD の予言（= 現実）をどの程度実に再現するか、が鍵になります。例えは

$$(820) \quad \sum_k k P_{(k)} = \langle k \rangle$$

は生成されたハドロンの平均の数ですか。これらの Q 依存性は、実際のハドロンの multiplicity $\langle n_h \rangle$ の Q 依存性に比例するだけではなりません。そのための努力は ⑥ で説明します。

PS は、(818), (819) を実現するためには、 k -ハドロン生成範囲積 (815) $d\sigma_{(k)}$ に重要な簡単化を行なう (GLAP 方程式の LL 近似)

$$(821) \quad B_1(x_1) \approx \frac{1}{k_{1T}^2} \hat{\Gamma}(z_1) \cdot z_1$$

$$C_2(x_1, x_2) \approx \left(\frac{1}{k_{1T}^2} \hat{\Gamma}(z_1) \right) \Theta(k_{1T}^2 - k_{2T}^2) \left(\frac{1}{k_{2T}^2} \hat{\Gamma}(z_2) \right)$$

$$D_3(x_1, x_2, x_3) \approx \left(\frac{1}{k_{1T}^2} \hat{\Gamma}(z_1) \right) \Theta(k_{1T}^2 - k_{2T}^2) \left(\frac{1}{k_{2T}^2} \hat{\Gamma}(z_2) \right) \Theta(k_{2T}^2 - k_{3T}^2) \left(\frac{1}{k_{3T}^2} \hat{\Gamma}(z_3) \right)$$

これが猛烈な近似であることは、phase space $dX_1, dX_1 dX_2, \dots$ が

$$(822) \quad dX_1 \sim \frac{d^3 k_1}{(2\pi)^3 2E_1} \sim \frac{dK_{1T} d^2 k_{1T}}{16\pi^3 E_1} \sim \frac{dz_1 \frac{1}{2} dk_{1T}^2 d\phi_1}{16\pi^3 z_1} = \frac{1}{16\pi^2} \cdot dk_{1T}^2 \frac{dz_1}{z_1} \frac{d\phi_1}{2\pi}$$

(ここで $\frac{1}{16\pi^2}$ の因子は、matrix element の方の g_s^2 とまとめて、 $\frac{ds}{4\pi}$ の因子と一緒に頭の中に (815) に書かれています)。本義は、 $dX_1 \cdots dX_K$ は ϕ_1, \dots, ϕ_K の依存性を持つのに、それが完全に無視されていること、 $|M_K|^2$ が

(821) の形に極端に簡略化されてしまっている分かります。唯一重要なことは、(後で述べる angular ordering と $ds \rightarrow ds(k_T^2)$ の変更をいた上で)、(821) の分布が、全ての $k_T = 0$ ソフト ($z_K \ll 1$) で目つ

コリニス - ($k_{1T}^2 \ll Q^2$) の極限で、QCD の予言に従うと期待される

ことです。運動 QCD の断面積はこの極限で発散するからですから、物理的

なカットオフ (現実の世界では $\frac{1}{\Lambda}$ 程度の大きさを持つハドロンの拡がり)

カットオフです。E-QCD では $\frac{ds}{\pi}(Q_0) \ll 1$ を保持しなければ

なりませんので $Q_0 = 1 \sim 2 \text{ GeV}$ のカットオフが必要です) 付近の振舞

が再現され、従って、1p-pton の率や、散分布等の本質的なシグナルの性質の Q 依存性が再現されると期待できます。PS の方法では、

カットオフ Q_0 を導入するところまで、全ての k-1p-pton 断面積を有限にはなり

(821) の仮定の結果。

$$(822) \frac{\sigma_{(0)}}{\sigma_{tot}^{(0)}} = \Delta(Q, Q_0)$$

$$\frac{\sigma_{(1)}}{\sigma_{tot}^{(0)}} = \Delta(Q, Q_0) \int_{Q_0} B_1(x_1) dx_1 \frac{ds}{\pi}$$

$$\frac{\sigma_{(2)}}{\sigma_{tot}^{(0)}} = \Delta(Q, Q_0) \int_{Q_0} G_2(x_1, x_2) dx_1 dx_2 \left(\frac{ds}{\pi}\right)^2$$

$$= \Delta(Q, Q_0) \frac{1}{2!} \left(\int_{Q_0} B_1(x_1) dx_1 \frac{ds}{\pi} \right)^2$$

$$\frac{\sigma_{(3)}}{\sigma_{tot}^{(0)}} = \Delta(Q, Q_0) \int_{Q_0} D_3(x_1, x_2, x_3) dx_1 dx_2 dx_3 \left(\frac{ds}{\pi}\right)^3$$

$$= \Delta(Q, Q_0) \frac{1}{3!} \left(\int_{Q_0} B_1(x_1) dx_1 \frac{ds}{\pi} \right)^3$$

...

∴ エンタリーフィルムの確立式は、 $\Delta(Q, Q_0) = 1 + \int_{Q_0} B_1(x_1) dx_1 \frac{ds}{\pi} + \frac{1}{2!} \left(\int_{Q_0} B_1(x_1) dx_1 \frac{ds}{\pi} \right)^2 + \dots$

GL-AP 方程式的近似式。エントリーフィルム。

$$(823) 1 = \frac{\sum \sigma_{(n)}}{\sigma_{tot}^{(0)}} = \Delta(Q, Q_0) \left\{ 1 + \int_{Q_0} B_1(x_1) dx_1 \frac{ds}{\pi} + \frac{1}{2!} \left(\int_{Q_0} B_1(x_1) dx_1 \frac{ds}{\pi} \right)^2 + \dots \right\}$$

$$= \Delta(Q, Q_0) \exp \int_{Q_0} B_1(x_1) dx_1 \frac{ds}{\pi}$$

$$(824) \Delta(Q, Q_0) = \exp \left\{ - \int_{Q_0} B_1(x_1) dx_1 \frac{ds}{\pi} \right\}$$

$$= \exp \left\{ - \int_{Q_0^2} \frac{dk_T^2}{K_T^2} \int_{Q_0^2 / Q_0^2} dz_1 \hat{P}(z_1) \frac{ds(k_T^2)}{\pi} \right\}$$

(824) 12 p. 281 (811) の入力で $t = \text{Surdator 因子} \neq 2$ すなはち K_T^2 の序数 1 の結果、 $\frac{1}{n!}$

の因子が出てこない分かりますね。[(811) 式で $\frac{dz}{z}$ は dz の誤りです]。[(802), (803), (810)]
 $\int dx' \delta(x' - x_2) \frac{1}{2} \left(\frac{1}{2} + \frac{1}{2} \right) \left[\frac{1}{2} + \frac{1}{2} \right]$

∴ エンタリーフィルムの分布、パートニの数と数分布、平均のエネルギー

や K_T 、核分裂等、シミュレーションプログラムを規定するので、PS の心臓で

あることが分かります。一方、もともと、LO の GL-AP 方程式から、單純に

$$\Delta(Q, Q_0) \in \text{左}^{\circ} \text{ です} \text{。} \frac{ds(Q^2)}{\pi} \in \frac{ds(\mu^2)}{\pi} \text{ で置きかえて}$$

$$(825) \quad \Delta(Q, Q_0)^L = \exp \left\{ - \frac{ds(\mu^2)}{\pi} \ln \frac{Q^2}{Q_0^2} \right\}$$

の形となり、 $\frac{ds}{\pi} = a$ 、 $\ln \frac{Q^2}{Q_0^2} = L$ とおいたときに $(aL^2)^k$ の項の

足し上げてからであります。この場合だと、この近似が最ものは

$$(826) \quad a \cdot (aL^2)^k \ll 1, \quad k = 1, \dots, k_{\max}$$

となります。

$$(827) \quad aL^2 \lesssim 1$$

です。L が大きくなるので、これは全く信頼性がありません。

も、と系統的な足し上げを1つずつは“やりませんか”、ソフト・コリニエー領域の正則化（パートン、ジットの定義）を以て 適当なものを用いると、

系統的な足し上げ（exponentiation）が可能です。

$$(828) \quad \Delta(Q, Q_0) = \exp \left\{ - L f_1(aL) - f_2(aL) + a f_3(aL) - \dots \right\} + O(a)$$

ここで $f_i(aL)$ は aL^0 (通常の) 性質の良い関数です。 $f_2(aL)$ は “

求めものは” (NLL と 4W-33)、誤差は

$$(829) \quad a \ll 1$$

ときほど小さくなるので、信頼性が格段に増します。いくつかの

ジエットの定義について、解析的な計算が行われていて。

(830) 例えは S. Catani, L. Trentadue, G. Turnock, B.R. Webber, NPB407, 3 (1993)
B. Bonciani, S. Catani, M.L. Mangano, P. Nason, PLB575, 268 (2003)

これらの結果を再現する様に、GL-AP 分岐の計算も改めされました。

その結果、ソフト・コリニア領域で、次の改良をすれば“良い”とい
分かりました。

(831a) 独立輻射の仮定を $k_T^2_1 > k_T^2_2 > k_T^2_3 > \dots > k_T^2_n$
ではなく、 $\theta_1 > \theta_2 > \theta_3 > \dots > \theta_n$ とする。

(831b) $\alpha_s(Q^2) \rightarrow \alpha_s(k_T^2)$ とする。更に $\alpha_s(k_T^2) = \alpha_s(\mu = \frac{k_T}{1.57}) \frac{k_T}{m_S}$

上の二つの改良をした分岐開放を用いると、LO の GL-AP 方程式
が“導かれる PS が” soft-collinear limit で正しくジエットの半径を
舞う（基本的には $\Delta(Q, Q_0)$ の振舞）を再現するのです。

(832) S. Catani, B.R. Webber, G. Marchesini, NPB349, 435 (1991) 他。

この改良を加えた PS は $\Delta(Q, Q_0)$ の式 (824) で、 $d\Gamma^2/k_T^2$ を
 $d\theta/\theta$ に置き換え、且つ、 α_s を $\alpha_s(\mu = \frac{k_T}{1.57}) \frac{k_T}{m_S}$ と置いてあります。

$\alpha_s(\mu)$ のスケールが定、たこにより、ジエットのソフト・コリニア領域の
プロファイルが、基本パラメータ $\alpha_s(m_S) \frac{m_S}{k_T}$ の大きさによって定まるところ

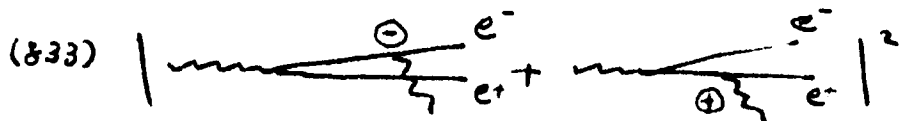
ます。このことを利用して TRISTAN, LEP のジエットの形の解析 ($T \sim 1$)

附近での $d\sigma/dT$ など) から $\alpha_s(m_Z) \bar{m}_S$ をおける事のみがなされたが、
 $T \sim 1$ 附近では LEP エネルギーさえ、非輻射効果を無視できないよろしく。
「大体良さそうだ」などと感觸です。 Tevatron と LHC でのより高エネルギー
のコントラクト形は、より明瞭に P-QCD の予言と一致するたまに思ひます。

角度オーバーランでは、QED の $\gamma \rightarrow e^+e^- \rightarrow e^+e^-r$ 輻射のはりが一番
顕著です。下図で



とすると、二つの振幅



が相殺し、振幅は消えてしまうます。一方



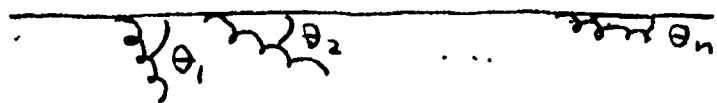
の場合は



となる程 $\left(\frac{d\theta}{\theta} \approx 137.33\right)$ 輻射を出します。

$\alpha_s \rightarrow \alpha_s(k_F^2)$ の次の木葉に理解してます。ケルビン放出か

(836)



$$\ln \theta_1 \gg \ln \theta_2 \gg \dots \gg \ln \theta_n$$

図には、他のダイアグラムは干渉しません。ケルビン放出面積は上図の $| \frac{1}{\theta_1 \dots \theta_n} |^2$ で与えられます。今、 $n+1$ 個のケルビンか。 $\theta \sim \theta_K$ は放出されたとします。

$$(837) \quad \left| \frac{1}{\theta_1 \dots \theta_{n+1}} + \dots \right|^2$$

今度はクロス1-loop diagram が干渉します。一方 $\theta \sim \theta_K$ なので、

このケルビン系は、(836) の k 番目のケルビンと重って一つのシグレットと見られるかも知れません。 α_s のオーダーと見て、

$$(838) \quad \left(\frac{1}{\theta_1 \dots \theta_K \dots \theta_{n+1}} \right) \left(\frac{1}{\theta_1 \dots \theta_K \dots} \right)^*$$

(837) × (838) を足し算すると、ケルビン放出面積 (836) の二乗の式で、

$$k 番目の放出の組合せを、\frac{\alpha_s(k_F^2)}{\pi} + \left(\frac{\alpha_s(k_F^2)}{\pi}\right)^2 b_0 \ln \frac{k_F^2}{\mu^2} = \frac{\alpha_s(k_F^2)}{\pi} \times$$

置き換えたものになります。同様に、全ての (836) のケルビンと近い

角度に表される剩余ケルビンの効果は、 $\alpha_s \rightarrow \alpha_s(k_F^2)$ で吸収され、

オーダリニクルの係数とれて、exponentiate されるのです。今、この議論で

2005. 10. 14

azimuthal angle, ϕ_1, \dots, ϕ_n は $\mathbb{R}^3, \mathbb{R}^{1|3}$ の様に書けますか（紙が平面で \mathbb{R}^2 ） \dots ），全ての揃えた $\{\phi_1, \dots, \phi_n\}$ の組み合いで同様の議論をすることができます。

さて、この様に作られた PS (Herwig, Pythia etc) は、ソフト・ゴン・領域で、NLO+NLL の近似を持ち、従って ジェットの最も重要な特性（ジェットが ジェット-31 < 見えるときの特性）を再現します。

このPSは最も重要な点であるので、たとえば、この部分の改良が90年代初めに行なわれました。これらの改良は、TRISTAN, LEP, LEP2 のテストで tune されていました。Q/Q 異なるエネルギーを除いて、LHC でも通用すると思します。

欠点があるとする。 LO の形はそのままにして、soft-collinear \Rightarrow 極限で NLL-NLO の結果を再現するようにしたのです。 hard-collinear な場合には必ずしも NLL-NLO との一致が良いかどうか分からなくなっています。（GLAP 方程式とかもとなので、hard-non-collinear は必ずしも 13 たの 2-3。） hard-collinear な部分も NLL の効果を取り入れるのが、加藤・宗久の NLL ジェットだと理解しています。歴史的に、

NLL ジェット PS の開発と、上には入った soft-collinear 領域の改良とか、
同じ時期であつたために、私は当時、この邊の全く理解できませ
でいた。既に述べたように、soft-collinear 領域の改良は、PS か
現実のジェットをユニークするのに絶対に必要であるので、その部分
の改良を行なって、hard-collinear 領域のジェットプロファイルを改良
することになりました。それを示すにかけてました。NLL ジェットは市民権を
得られたりたどりたどり、(今は)思ひます。実のところ、どの程度の改良
か期待できるのか、私には分かりません。(実際の解析を行
なっている栗原さんへ教えてもらいました。) 分かりません。で、
問題のことを知りませんが、私は今のところ、それが重要な効果に
期待できなくなっているのかと思、であります。NLL で、hard-collinear
が分岐か改善されますが、ジェット中のハートカットロン、ミニジェットの
分布が改善されるに至ります。一方、collinear を本領域では、hadronization
の効果を含めて、LEP 等のデータを使、2 tune されてます。hard と
且つ non-collinear の振舞については、GL-AP で計算しておきましたので、
exact to matrix element を使、で改良しなければなりません。それが現
在は結構は、PS で使われた分岐と、exact to matrix element による分布との

2005.10.14

「差」を評価することになります。(MC@NLO 等)。どうせ差をとる
なら、通常の PS の簡単な LO の分歧関数との差を計算する方が
より複雑な NLL の分歧関数との差を計算するよりも楽なよな気が
します。次の 2 点が知りたいです。NLL 分岐を使ふと、MC@NLO
を実施したときに、補正が小さい、negative weight event が少ない
等の利点があるか? もう一つは、HKKW 等で exclusive ラ
ンダム生成する場合、どうして、一つのランダムは充分 collinear
とは言えなくなる。ある程度 non-collinear ランダムを PS で生成し
ければならない。その領域で、NLL ランダムは通常の PS より再現性
がいいか?もし、これらの質問に対する答が肯定的であったり、たまに、
復権のチャンスはあると思ふし、LHC の解析を有利に進める二点は
ですかとも知れません。過去の実験は、soft-collinear 部分は
非運動的ハドロン化の部分大にして、その方向の改良に取り組まなかっ
たことにあったたと思います。あくまでも、まず soft-collinear, とかの OK
でやるべき。hard-collinear の改良が先を進むるの先だと思います。

③にもあります。 j の大きさは k_T -clustering algorithm で決めることが
ありますか(⑥で詳しく述べます)、(832)の様にユニタリ-(819)
を満たす。 $n=0, \dots, k_{\max}$ 1D-トニイベントが生成されたる。その全てを
出発点として clustering-algorithm を用いて、図①で示すように
「大」シグレットの生成断面積を評価します。この過程で

$$(839) \quad \begin{array}{ccc} \text{1D-トニイベント} & \xrightarrow{\sigma_{(0)}} & \text{シグレットの数} \\ \sigma_{(0)} & \rightarrow \sigma_0 & \\ \sigma_{(1)} & \rightarrow \sigma_0, \sigma_1 & \\ \sigma_{(2)} & \rightarrow \sigma_0, \sigma_1, \sigma_2 & \\ \sigma_{(3)} & \rightarrow \sigma_0, \sigma_1, \sigma_2, \sigma_3 & \\ \vdots & \vdots & \vdots \\ \sigma_{(k_{\max})} & \rightarrow \sigma_0, \sigma_1, \sigma_2, \sigma_3, \dots, \sigma_n & \\ & \Downarrow & \Downarrow \\ & \sigma_0 + \sigma_1 + \sigma_2 + \sigma_3 + \dots + \sigma_n = \sigma_{\text{total}}^{(0)} & \end{array}$$

の様に cluster 化されます。(839)の過程は、ハドロンを出発点
にして cluster 化とあるレベルから一致するとか要求されます。
この要求を満たすのは、シグレット clustering が QCD の
分岐過程の特徴、特に soft-collinear な振舞を達成した
場合だけです。この点については ⑥で再述します。

全断面積 $\sigma_{\text{total}}^{(0)}$ からずれません(ユニタリ-(819)の結果)。

シグレットの数分の正確には 30% 程度で 10% 。。

③ が MC@NLO の出番です。

- (840) S. Frixione, B.R. Webber, JHEP 06, 029 (2002)
 S. Frixione, P. Nason, B.R. Webber, JHEP 08, 007 (2003)
 S. Frixione, B.R. Webber, hep-ph/0506182 [MC@NLO 3.1]

ます。 PQCD の予言の大きさ (断面積等の大きさ) は LO では不定で、 NLO では初めて定量的な予言が可能になりますことを復習しましょう。

① の過程 $p\bar{p} \rightarrow (\dots) + n j$ のどれかの 微分断面積を

$$(841) d\sigma = \sum_{a,b} dx_1 D_{g_p}(x_1, \mu_F) dx_2 D_{g_p}(x_2, \mu_F) d\hat{\sigma}_{ab \rightarrow (\dots) + \dots}^{(s, x_1, x_2, \mu_F, \mu_R)}$$

と 因子化した形に書いてみましょう。 μ_F は long-distance physics (PDF) の因子化スケール、 μ_R は ultra-violet physics の因子化スケール (くり込み点) です。 左辺は観測量です。 μ_F, μ_R に依存します。一方、 long-distance physics を因子化した量 (PDF) は μ_F に依存 (GL-AP 方程式)、 ultra-violet physics を因子化した量 (α_s) は μ_R に依存 (くり込み群方程式) します。 Hard-scattering part $d\hat{\sigma}$ は PQCD の運動量関数でなくて

$$(842) d\hat{\sigma} = d\hat{\sigma}_{LO} \left\{ 1 + A_1 a + A_2 a^2 + \dots \right\}; a = \frac{\alpha_s(\mu_R)}{\pi} \overline{MS}$$

ます。 μ_F に関する非依存性か、 PQCD でどのように実現せらるかを 考えます。 (841) 式の $\mu_F \rightarrow k\mu_F$ と $\mu_F \rightarrow k\mu_F$ と 変更すると、当然、 μ_F の値が変わります。 GL-AP 方程式を運動的

1: 解くと $[\ln(k\mu_F)^2 = \ln\mu_F^2 + \ln k^2 \text{ なので}]$

$$(843) \quad \begin{cases} D_{a/p}(x_1, k\mu_F) = D_{a/p}(x_1, \mu_F) + \ln k^2 \cdot \frac{\alpha_s}{2\pi} \hat{P} \otimes D(x_1, \mu_F) \\ D_{b/p}(x_2, k\mu_F) = D_{b/p}(x_2, \mu_F) + \ln k^2 \cdot \frac{\alpha_s}{2\pi} \hat{P} \otimes D(x_2, \mu_F) \end{cases}$$

の様に変化します。 $\ln k^2 \cdot \frac{\alpha_s}{2\pi} = \ln k \cdot a$ と書きます。== の α_s は $\alpha_s(\mu_F)_{MS} \approx 3.01$ 、 $\frac{\alpha_s(\mu_F)}{\pi} = \frac{\alpha_s(\mu_F)}{\pi}_{MS} + b_0 \ln \frac{\mu_F^2}{\mu_R^2} \left(\frac{\alpha_s(\mu_R)}{\pi} \right)^2 + \dots$
 $t \rightarrow \infty$ で "higher-order" です。(843) は

$$(844) \quad D_{a/p}(x_1, k\mu_F) \cdot D_{b/p}(x_2, k\mu_F) = D_{a/p}(x_1, \mu_F) \cdot D_{b/p}(x_2, \mu_F) \\ \times \left[1 + \ln k \cdot a \left\{ \frac{1}{D_{a/p}(x_1, \mu_F)} \hat{P} \otimes D(x_1, \mu_F) + \frac{1}{D_{b/p}(x_2, \mu_F)} \hat{P} \otimes D(x_2, \mu_F) \right\} \right].$$

となります。観測量 $d\Gamma$ の μ_F 非依存性は、PQCD の 振動展開で (844) 式の $\ln k \cdot a \{ \dots \}$ の項か、 $d\Gamma$ の展開式 (842) の A_1, a の項以上で正確に相殺されるこことを意味します。つまり、NLO の計算をすると、補正項は必ず"。

$$(845) \quad A_1 = -\ln k \{ \dots \} + C$$

の形になります。 ~~A_1 の計算がなぜか、たゞ、~~
 \hat{P} の振動展開は、(845) 式の A_1 の値が小さな時にのみ収束が期待できます。C が小ければ $k=1$ が良いし、C が大きければ $k=1$ が悪いことはありません。一方、もし A_1 の計算 (NLO) が

801

2005.10.14

た。されなかつたら、 k をいくつにすれば振動の第〇項(LO)の予言が良いのか全く分かりません。 $d\hat{\sigma}$ が大きくて複雑な過程であれば、 $d\hat{\sigma}$ の収束が良くなる k を予想することも困難になります。 $\frac{1}{2} < k < 2$, $\frac{1}{4} < k < 4$, 振動が1つあると、LO段階だけの予言は大きく動き、 $d\hat{\sigma}$ の大きさが確定しません。

次に μ_R 依存性を見ます。この場合に $d\hat{\sigma}_{LO} \propto \frac{ds}{\pi}$ 依存性が重要になります。

$$(846) \quad d\hat{\sigma}_{LO} = A_0 a^m \quad a = \frac{ds(\mu_R)}{\pi} \bar{\mu}_s$$

とします。RGE 12

$$(847) \quad \mu^2 \frac{d}{d\mu^2} a(\mu) = - b_0 a(\mu)^2 - b_1 a(\mu)^3 - \dots$$

でます。 $\mu_R \rightarrow \mu'_R = k' \mu_R$ とすると。

$$(848) \quad a(k' \mu_R) = a(\mu_R) - b_0 \ln k'^2 a(\mu_R)^2 - \dots$$

と変化し。(846) 6' 3

$$(849) \quad d\hat{\sigma}_{LO}(k\mu_R) = d\hat{\sigma}_{LO}(\mu_R) \left\{ 1 - m b_0 \ln k'^2 a(\mu_R)^2 - \dots \right\}$$

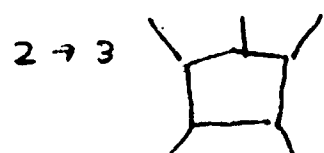
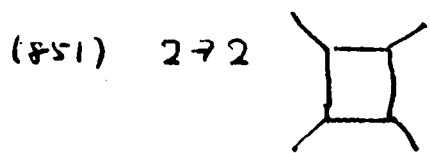
と変化します。 $d\hat{\sigma}$ は μ_R に依存しないので、(842) の A_1 は 0 です。

$$(850) \quad A_1 = m b_0 \ln k'^2 + C'$$

の形で1つあります。 A_1 の実数的値が小さな k' の良い近似

となるわけです。 C' の計算 (NLO) もやっていたければ、 k' を選ぶ“これがいいですね”ので、 $d\hat{\sigma}_{L0}$ の直は大きさ不定性 ($m=0$ の場合は除きます。) を持つわけです。 multi-jet 生成断面積の m は大きいですから、この不定性は深刻です。

と“うりで”。 ①にかけた重要な過程の全てについて NLO 補正が登場しています。 線状態から 3 体までの計算はほぼ完成していると思いますが、それ以上になると、現在の計算法では ~~困难~~ とても困難です。困難ループ計算にあります。



とかく速度的に難になります。①にあった $\dots + m^j$ で $m > 1$ は事实上不可能だと思います。（全く新しい計算法が開発されたら、どうか。） NLO 計算の最も標準的な技術は

(852) S. Catani, M.H. Seymour, *NPB 485, 291 (1997)*; *E 510, 503 (1997)* です。最近の発展については、栗原さん、Vermaseren さん等によるものが良いかと思います。私は(852)は大変良く書かれていると思います。

+ 2 NLO 計算の idea を説明します。kinematical 矛盾を 1 節取
($\gamma^*\gamma - \text{オニ}$ の energy fraction b)、 $1-\cos\theta$ が \propto 意味から (左図)。

LO で $\gamma^*\gamma$ -オニが放出されたので、微分断面積は

$$(853) \quad \left(\frac{d\sigma}{dx} \right)_{\text{LO}} = A_0 \delta(x)$$

で 3. real emission は

$$(854) \quad \left(\frac{d\sigma}{dx} \right)_R = a \cdot \frac{R(x)}{x} \quad ; \quad a = \frac{ds(\mu) \bar{m}^2}{\pi}, \quad R(0) = \text{finite}$$

kinematical 領域 (phase space) は $0 < x < 1$ とします。virtual correction は $\gamma^*\gamma - \text{オニ}$ を放出したときの x 分布は (853) と同じ。

$$(855) \quad \left(\frac{d\sigma}{dx} \right)_V = a \left(\frac{c}{\epsilon} + V \right) \delta(x)$$

ここで、IR 矛盾を $D=4-2\epsilon$ で正則化しましたと考え、被積分項を $1/\epsilon$ で表すことに。 $4 \rightarrow D$ の解析移級で

$$(856) \quad \begin{cases} d^4 k \rightarrow d^D k = k^{D-1} dk d\Omega^{D-1} & \cdots \text{virtual (loop) momenta} \\ \frac{d^3 k}{2E} \rightarrow \frac{d^{D-1} k}{2E} = \frac{k^{D-2}}{2E} dk d\Omega^{D-2} & \cdots \text{real emission} \end{cases}$$

ですむ。 x は momentum fraction のとき $\frac{1-\cos\theta}{2}$ のときも、一方は k^{D-2} の 3, 一方は $d\Omega^{D-2}$ の 3, phase space は。

$$(857) \quad dx \rightarrow x^{-2\epsilon} dx$$

の様に変化します。 (855) の結果たりと書くと“たとえ式”: real emission

$$\Rightarrow (854) \text{ は } D = 4 - 2\epsilon \text{ です}$$

$$(858) \quad \left(\frac{d\sigma}{dx} \right)_R = \alpha \frac{R(x)}{x} \cdot x^{-2\epsilon} = \alpha \frac{R(x)}{x^{1+2\epsilon}}$$

となります。 UV 発射は $D < 4 (\epsilon > 0)$ で正則化されますが、

IR, collinear 発射は共に, $D > 4 (\epsilon < 0)$ で正則化されることは

わかります。 [UV は k の分子にあるとその発射で、 IR × collinear

は共に, $\frac{1}{\epsilon}, \frac{1}{1-\epsilon}$ の様に分母の発射ですか、これはまた】

前です。] (853), (855), (858) を用いて, NLO の計算をします。

まず、全断面積:

$$(859) \quad \sigma_{L0} = \int_0^1 dx \left(\frac{d\sigma}{dx} \right)_{L0} = A_0$$

$$(859)' \quad \sigma_V = \int_0^1 dx \left(\frac{d\sigma}{dx} \right)_V = \alpha \left(\frac{\epsilon}{\epsilon + V} \right)$$

$$\begin{aligned} (859)'' \quad \sigma_R &= \int_0^1 dx \left(\frac{d\sigma}{dx} \right)_R = \alpha \int_0^1 dx \frac{R(x)}{x^{1+2\epsilon}} \\ &= \alpha \int_0^1 dx \left[\frac{R(0)}{x^{1+2\epsilon}} + \frac{R(x)-R(0)}{x^{1+2\epsilon}} \right] \\ &= \alpha \left\{ R(0) \left[\frac{x^{-2\epsilon}}{-2\epsilon} \right]_0^1 + \int_0^1 dx \frac{R(x)-R(0)}{x} + O(\epsilon) \right\} \\ &= \alpha \left\{ -\frac{R(0)}{2\epsilon} + \int_0^1 dx \frac{R(x)-R(0)}{x} + O(\epsilon) \right\} \end{aligned}$$

全て足し算すると

$$(860) \quad \sigma_{\text{NLO}} = \sigma_{\text{LO}} + \sigma_v + \sigma_R$$

$$\begin{aligned} &= A_0 + a \left(\frac{c}{\epsilon} + V \right) + a \left\{ -\frac{R(0)}{2\epsilon} + \int_0^1 dx \frac{R(x)-R(0)}{x} \right\} \\ &= A_0 + a \left\{ \frac{1}{\epsilon} \left(c - \frac{R(0)}{2} \right) + V + \int_0^1 dx \frac{R(x)-R(0)}{x} \right\} \\ &= A_0 + a \left\{ V + \int_0^1 dx \frac{R(x)-R(0)}{x} \right\} \end{aligned}$$

となります。ここで、IR/collinear 発散の相殺は

$$(861) \quad c = \frac{R(0)}{2}$$

で保障されます。

さて、(859) \rightarrow (860) の計算は、kinematical variables (今は $x \in [0, 1]$) に依存する全ての observable $O(x)$ に対する予言に適用されます。

$O(x)$ に対する唯一の ~~唯一~~ 条件は

$$(862) \quad O(x) = O(0) + \sum_{n=1}^{\infty} c_n x^n$$

です。つまり、 $O(x)$ は IR, collinear + 極限 ($x=0$) で唯一つの値を持つ (IR, collinear + splitting で値を変える) ことです。

IR/collinear soft observables と呼んでいます。では $O(x)$ に対する PQCD の予言を計算します。

$$(863) \quad \langle O(x) \rangle_{\text{LO}} = \int_0^1 dx O(x) \left(\frac{d\sigma}{dx} \right)_{\text{LO}} = A_0 O(0) \delta(x)$$

$\langle O(x) \rangle$ の定義としては $\frac{1}{\alpha}$ で規格化するのが普通ですか。

今は「やさしく」規格化していません。次元を $\epsilon = 3 - d$ とおいて目をつぶして下さいわ。(863) の $\langle \cdot \rangle$ の定義です。たゞ $V \in R$ の補正も忘はず。

$$(864) \quad \langle O(x) \rangle_V = \int_0^1 dx O(0) \left(\frac{d\sigma}{dx} \right)_V = \alpha \left(\frac{\epsilon}{\epsilon + V} + V \right) O(0)$$

$$\begin{aligned} (864)' \quad \langle O(x) \rangle_R &= \int_0^1 dx O(x) \left(\frac{d\sigma}{dx} \right)_R \\ &= \int_0^1 dx O(x) \frac{R(x)}{x^{1+2\epsilon}} \cdot \alpha \\ &= \alpha \int_0^1 dx \left[\frac{O(0)R(0)}{x^{1+2\epsilon}} + \frac{O(x)R(x) - O(0)R(0)}{x^{1+2\epsilon}} \right] \\ &= \alpha \left\{ \frac{O(0)R(0)}{-2\epsilon} + \int_0^1 dx \frac{O(x)R(x) - O(0)R(0)}{x} + O(\epsilon) \right\} \end{aligned}$$

全ての寄与を足し上げて、(861) を考慮すると、

$$(865) \quad \langle O(x) \rangle_{NLO} = A_0 O(0) + \alpha \left\{ V O(0) + \int_0^1 dx \frac{O(x)R(x) - O(0)R(0)}{x} \right\}$$

となるやうです。(865) を積分形 ($\int_0^1 dx = 1$ を利用) にすると

$$(866) \quad \langle O(x) \rangle_{NLO} = \int_0^1 dx \left\{ O(x) \frac{aR(x)}{x} + O(0) \left[A_0 + \alpha V - \frac{aR(0)}{x} \right] \right\}$$

これがMC@NLO の出発点です。(865) 式の表式では 最後の積分は manifest に有りて、通常の $O(0)$ の場合計算不能です。 $(O(x))$ の解き時は表式かあれは常に可能です。) $O(0)=1$ なら全般の面積 (860) です。

$$O(x) = x \text{ なら } O(0) = 0 \text{ なら } "$$

$$(867) \quad \langle x \rangle_{NLO} = a \int_0^1 dx R(x)$$

です。 $1-T$ ($T=thrust$) が jet の太さの θ に soft or collinear limit $T=0$ になると量は $\langle \cdot \rangle_{LO}$ の値から変わらぬで、 $\langle \cdot \rangle_{NLO}$ の値は最初の有限項を与えます。通常の $\langle \cdot \rangle_{NLO}$ の議論では、運動展開の最初のセクターを L0 と呼ぶことにした、 $T=3\pi/2$ 。 (867) の $\langle \cdot \rangle_{NLO}$ の考え方でその他の方とはずつ異なっています。このあたりのことは言葉の使い方、方言みたいなもので丁寧に説明するまでは、少しあきらめたい。

さて、MC@NLO は $O(x)$ と PS の event 全体を考えよ。

ひとつのことです。とってもたく複雑で、解析的表式もないでちがい。

$(865), (866)$ で「有理の NLO 補正が得られるに至った」とは

理解できるでない？ [PS が QCD の重構に従って soft emission

で変わると “ $O(x) \xrightarrow{x \rightarrow 0} O(0)$ は OK でよし”， collinear emission の場合、

initial state で PDF の変化し、 final state で fragmentation function (jet profile)

が変化します。final state は ‘jet-cluster \rightarrow jet’ で問題を回避！

initial state で PDF の変化分を GLAP 方程式によって相殺します。] 但し、

(865) の積分が有限にならないとき、でも、 PS の分布一つ毎に (それがゼロで全 <

同じ PS の分布) 相殺されるやけにすら、MC 法では全く相殺されません。

PS の生成 自体は 'x' も乱数と共に生成 (た) いります。と "312t, x ≠ 0" のとき、 $x=0$ のとき 加算するには、(1) まます。そして 33° (866) の下) は
書き換えますか"、第一項と第二項はそれが発散しては、 $\int_0^1 dx$ 積分を
MC 法で相殺せることは不可能です。それに、第一項 $t \rightarrow +\infty \rightarrow PS^{NLO}$ 、
第二項 $t \rightarrow -\infty \rightarrow PS^{NLO}$ で、その和が NLO の PS^{NLO} であります、何が
何が分りません。 (840) の MC @ NLO の工事は、(866) の 448.4.0.3、
 $x \rightarrow 0$ の singularity を相殺する解析的関数 ($\frac{R(x)}{x}$ の singular 部分の 解析的
表現) は GL-AP 方程式の splitting 因数を従、(書き下) を引いて足します:

$$(868) \quad \frac{R(x)}{x} = \frac{\cancel{Q(x)} + R(x) - Q(x)}{x} \\ = \frac{Q(x)}{x} + \frac{R(x) - \cancel{Q(x)}}{x} ; \quad Q(0) = R(0)$$

$$(869) \quad \langle O(x) \rangle_{NLO} = \int_0^1 dx \left\{ O(x) \frac{a(R(x) - Q(x))}{x} + O(0) [A_0 + aV + a \frac{Q(x) - R(0)}{x}] \right\}$$

(V)

(840) で提案された MC@NLO は、 $R(x)$ が計算されている全ての過程について、 inclusive to 分布（通常は 0 の過程で $\langle \dots \rangle + X$ の分布）は計算された NLO 分布に従い、 且つ、 $+ k_{\text{max}} \text{ parton}$ の PS を生成しますとあります。問題点をあけてみます（和の不動法のせいかも含むません）

(870) I : $\langle \dots \rangle + n_j$ の大事な場合、 n_j は PS か 3 cluster で構成します。 PS は soft-collinear to parton 1 か正か負かの 2 つ、 2 つ以上の jet の分布、 correlation は正か負かでません。

II : (869) の subtraction は言っています。 どうしてでも「負の weight」のイベントが生成されます。「 $\langle \dots \rangle + k_{\text{max}} \text{ partons}$ が生成された」と言えても、 それは「正のイベント」か「負のイベント」の効果を差引いた「分布」でしかあり得ません。イベント generator の役割は果たせないよに思えてならない、違いますか？

上の I の 説明差間は本質的です。「 $\langle \dots \rangle + k_{\text{parton}}$ の分布」が計算できるのは、それがそれで良いのですから、 得られた分布に従って event が生成できなければ余り線に立ちません。 MC の全ての无数次の組みに対して「負」/「正」の比を算えさせれば良いのですか？ // これが OK であれば、 我らの問題は (870)-I であり、これが p.284 の課題⑤です。

p. 284 の課題 ④ の解は. MC@NLO が 128 ます。 (…) 系の P_T 分布は $(\dots) + X$ の inclusive 分布の 1つであります。 PS の initial radiation によると、 极端に正しく得られますし、その部分に対する NLO 誤差も入りります。 $n=0, n=1$ と \dots, n exclusion の jet の数を固定した動画種は。 (870)-I の議論から。 充分に正しいといけ期待できませんか。 それでも、 (…) 系の P_T 分布を。 これについて調べる二つの可能です。 $\text{parton} \rightarrow \text{jet} \rightarrow \text{clustering}$ の 炎字なつて、面倒な作業にはなります。

さて。 p. 284 の課題 ⑤に対する解答を。取り合えず”③の NLO の精度を要求せずに（しかし他の要請を全て満足するのか） HKKW です。

(871) $\left\{ \begin{array}{l} S. Catani, F. Krauss, R. Kuhn, B.R. Webber, JHEP 11, 063 (2001) \\ F. Krauss, JHEP 08, 015 (2002) \\ F. Krauss, A. Schalicta, S. Schumann, G. Soett, hep-ph/0409106, 0504032 [w/2 jets] \end{array} \right.$
は

まず最初に。全て event を ① のリストで

(872) $\begin{array}{ll} (\dots) + 0 \text{ jet} & \text{events} \\ (\dots) + 1 \text{ jet} & " \\ (\dots) + 2 \text{ jet} & " \\ \vdots & \\ (\dots) + n \text{ jet} & " \end{array}$

に分割します。jet の定義が重要な点で、soft-collinear 分割

で、QCD の分歧は consistent な k_T -cluster algorithm を用います。

- (873) S. Catani, Y.L. Dokschitser, M. Olsson, G. Turnock, B.R. Webber, PLB 269, 432 (1991)
 S. Catani, Y.L. Dokschitser, B.R. Webber, PLB 285, 291 (1992)
 ★ S. Catani, Y.L. Dokschitser, M.H. Seymour, B.R. Webber, NPB 406, 187 (1993)

* は必読文献です。Clustering algorithm は k_T のハドロンスタートン

運動量の集合

$$(874) \left\{ \vec{p}_i \right\} \quad i=1, \dots, k$$

から出発して、cluster (jet) は unique に定められる。まず全 y_{ij} (i, j) の組 (kC_2 あります) について、 $\vec{p}_i + \vec{p}_j$ の距離 (jet の太さ) y_{ij} を計算し、あるかじの決めた jet の太さの最大値 y_{cut} と比較：

$$(875) \min \{y_{ij}\} < y_{cut} \quad \text{to } \vec{p}_i + \vec{p}_j = \vec{p}_{ij} \quad (E_i + E_j = E_{ij})$$

もし、次のステップでは、 \vec{p}_{ij} はまだ $k-2$ 個の組み合わせで (875) を満たさない。

(875) を満たす組がなくなれば、この step. algorithm は終了。jet はその運動量 (cluster された全ての \vec{p}_i のハドロン) とエネルギー (全ての \vec{p}_i の和) が定まります。 y_{ij} が最小限の条件 (得られた jet が生産された QCD の解釈可能) は

解釈可能)

$$(876) y_{ij} \rightarrow 0 \quad \text{when } |\vec{p}_i| = 0 \text{ and } |\vec{p}_j| = 0 \text{ or } \vec{p}_i \cdot \vec{p}_j = 0$$

つまり、 $\Gamma_{\text{soft, collinear}} \rightarrow$ 分岐と区別(左)」といふ。P-QCD の soft-collinear
左分岐の angular ordering の従事は説明 131 を参照、 k_T -algorithm はこの
QCD の分岐の特徴を生む。得られた jet の性質が P-QCD のとき「良」、
振る舞はするよ; などの考證の提案をもつて。

$$(877) \quad y_{ij} = \min\{E_i^2, E_j^2\} 2(1 - \cos\theta_{ij}) \quad [\equiv \min\{k_{Ti}^2, k_{Tj}^2\}]$$

k_T -clustering は Durham-algorithm と等しい。P-QCD の相違が悪く
(従って parton \rightarrow hadron の機構の詳細に sensitive す) 131 12

$$(878) \quad y_{ij}^{\text{JADE}} = (p_i + p_j)^2 = 2E_i E_j (1 - \cos\theta_{ij})$$

である。(878) は用意した y_{ij} の最低条件を満たすものである。

(875) で $\min\{y_{ij}\}$ はソフト粒子 (ハドロン, リーク) の対を、角元 θ_{ij} が
大きくなると確率が高くなる。従って angular-ordering と
相入するので、JADE-algorithm は 12. QCD の分岐とは全く無縁の
「良」か「悪」かの偶然、2-2133 確率が無視できるのです。結果、

JADE-algorithm は jet 分布・計画類似、ハドロン化の機構の sensitive
であり、その fluctuation は sensitive となる。P-QCD における学んだ (4s と 2s)
P-QCD の知識を利用して、わかることの依存性を少なくして、jet の物理
から新しい物理を探す (LHC と ILC) 目的。ために 12. 17. 14 は世人。

さて algorithm (875) の“unique”にハドロン/ピ-トン→コ3スタ-1セ

[(839) 式参照] すなはち 61° 分かると思ひますか。 (873) ★の論述で、

ハドロン・コ3スタ- 実験に適用する左の重零力展開がなされました。

Observe された全ての ハドロン/ピ-トンの運動量の集合 $\{\vec{P}_i\}$ を参考にとる

同じく “でありますか”。 もの全てに就いて、次の二種類の「太さ」を計算します。

$$(879) \begin{cases} Y_{Km} = E_K^2 \sin^2 \theta_K (= p_{TK}^2) & \cdots n_1 \\ Y_{KL} = E_K^2 \sin^2 \theta_{KL} \approx E_K^2 [(\theta_K - \theta_L)^2 + (\phi_K - \phi_L)^2 \sin^2 \theta_K] \\ \approx p_{TK}^2 [(\gamma_K - \gamma_L)^2 + (\phi_K - \phi_L)^2] & \cdots n(n-1)_1 \end{cases}$$

全ての組みを計算し、

$$(880) \min \{Y_{Km}, Y_{KL}\} < Y_{cut}$$

$$\Rightarrow \begin{cases} Y_{Km} の場合 1) \vec{P}_K \text{ は } P_{K\parallel} \text{ の向うのビーム} \rightarrow \lambda + 1 \\ Y_{KL} の場合 2) \vec{P}_K + \vec{P}_L = \vec{P}_{KL} \end{cases}$$

で、おとく (880) を満たすだけ。